

دراسة عملية لبيان تأثير الاختلاف في طول الأنابيب الشعري على أداء منظومة التثليج الانضغاطية باستخدام مائع التثليج (R134a)

سامر محمود خلف	سعد سامي فرحان	ثامر خلف سالم
مدرس مساعد	مدرس مساعد	مدرس مساعد
قسم الهندسة الميكانيكية جامعة تكريت	قسم هندسة المكان و المعدات جامعة التكنولوجية	قسم الهندسة الميكانيكية جامعة تكريت

الخلاصة:

درس في هذا البحث تجريبياً أداء منظومة التثليج الانضغاطية بالاعتماد على تغيير طول الأنابيب الشعري وباستخدام مائع التثليج (R134a). أجريت الاختبارات لثلاث قيم من أطوال الأنابيب الشعري (120,100,80cm) مع تغيير معدل التدفق الكتلي لكل طول وكانت تراوحاً قيمه بين (s 6-2) مع ثبوت قطر الأنابيب الشعري الذي يساوي (2mm).

بيّنت النتائج المستحصلة أن معامل الأداء للدورة(COP) يقل بنسبة (38.14%) كلما زاد معدل التدفق الكتلي من (s 6-2) وبنسبة (6.65%) كلما زاد طول الأنابيب الشعري من (120-80cm) وتكون قيمته عند الطول (80cm) هي أكبر من الطول (120cm) عند أقل تدفق بينما تقارب قيمة (COP) لجميع الأطوال عند التدفقات الكبيرة. كما بيّنت النتائج أن (COP) يقل مع ازدياد درجات حرارة المكثف لجميع الأطوال. وتبين من الدراسة أيضاً أن القدرة الانضغاطية للضاغط تزداد مع زيادة درجة حرارة المكثف بنسبة (68.36%) وتزداد مع زيادة طول الأنابيب الشعري بنسبة (9.54%) مع تقارب قيمه عند الطولين (120,100cm). اظهرت الدراسة ايضاً ان درجة حرارة التبريد الإضافي ثابتة عند التدفقات القليلة وتنقل عند التدفقات الأكبر بنسبة (34.35%). خلال هذه الدراسة وجد أن أفضل طول يستخدم في دورة التثليج عند أدنى تدفق كتلي (2.78 g/s) هو الطول (80 cm) لأنّه يعطي أعلى أداء وأقل قدرة انضغاطية وعند أعلى تدفق كتلي (5.83 g/s) وجد أن الطول (100 cm) يعطي أعلى أداء وأقل قدرة انضغاطية.

الكلمات الدالة: طول الأنابيب الشعري أداء دورة التثليج الانضغاطية R134a .

volt	فرق الجهد	V
kJ/m³	السعه الحجمية لتبريد الغاز	Vcc
Watt	القدرة الكهربائية الداخلة إلى الصاغط	We
kJ/kg	شغل الصاغط	Wc
--	نسبة غاز التذرير	X
kg/m³	الكثافة	ρ
%	الكافاءة الكهربائية	η_e
%	الكافاءة الحجمية	η_v
	المختصرات	
-	غاز أو بخار	g
-	سائل	f
-	معامل الأداء	COP

المقدمة

لمنظومات التثليج الانضغاطية استعمالات واسعة في جميع مجالات الحياة منها التطبيقات الصناعية والزراعية والكميائية. تتألف دورة التثليج الانضغاطية من أربعة أجزاء رئيسية هي الصاغط والمكثف وأداة التمدد والمبخر وكل من هذه المكونات الأربع خصائص تصميمية وخصائص أداء معينة كما إن هذه الأجزاء لها أشكال وتصاميم مختلفة^[1]. أحدي هذه الأجزاء الرئيسية لمنظومة التثليج الانضغاطية هي وسيلة التمدد التي تقسم إلى أنواع عديدة حسب الظروف التصميمية للدورة، من هذه الأنواع هو الأنابيب الشعري الذي هو عبارة عن أنابيب بسيط بقطر داخلي يتراوح بين (0.5-2 mm) وبطول أقل من متر إلى حوالي ستة أمتار ويستعمل غالباً في منظومات التثليج الصغيرة التي لا تتجاوز سعة التثليج

		الرمز المستخدمة
m²	مساحة المقطع لأنابيب الشعري	A
m/s	سرعة المائع	C
--	نسبة الخلوص الحجمية $0.04 =$	Cc
--	معامل تصحيح خسائر المكبس والصمامات = 0.8	CL
mm	القطر الداخلي لأنابيب الشعري	D
Watt	القدرة الكهربائية	E
kJ/kg	المحتوى الحراري للمائع	h
A	التيار	I
cm	طول الأنابيب الشعري	L
kg/s	معدل التدفق الكتلي	m^o
-	الأُس البوليتروري	n
bar	الضغط	P
L/min	معدل التصريف الحجمي	Q
Watt	سعة تبريد المنظومة	Qe
Watt	الحرارة المطروحة من المكثف	Qc
-	نسبة الانضغاط	Rc
°C	درجة الحرارة	T
Watt	القدرة الانضغاطية للصاغط	
m^{3/kg}	الحجم النوعي للمائع	v

للقدرة المستهلكة في الضاغط و ($\pm 6.19\%$) لمعامل أداء الجهاز و ($\pm 4.5\%$) لسعة التبريد. قدم الباحث (Hussain)^[7] في عام (1998) أنموذج حسابي لدوره تتليخ انضغاطية يتكون من برنامجين الأول للدوره الانضغاطية النموذجية المثلالية والثاني للدوره الانضغاطية الحقيقية لغرض مماثلة العمليات الحرارية والجريانية التي تحدث في كل جزء من مكونات الدورة وتم تصميم الأنماذج العددية بشكل نمذجي حتى يتضمن إمكانية إدخال المتغيرات في مكونات الدورة ومائع التتليخ وقد أعطى الأنماذج نتائج جيدة بالمقارنة مع النتائج العملية للباحث إذ لم تتجاوز نسبة الخطأ (7 - إلى 3 %) للقدرة المستهلكة في الضاغط و (11.3 - إلى +0.7 %) لمعامل الأداء.

وفي عام (2001) قام الباحث (احمد عبد النبي)^[8] ببناءً أنماذج رياضي لمحاكاة منظومة تتليخ انضغاطية والذي يمكن بواسطته التنبؤ بأداء المنظومة عند استخدام موائع تتليخ بديلة ولمعرفة صحة العلاقات المستخدمة قام الباحث بإجراء تجارب عملية على منظومة تبريد انضغاطية باستخدام مائي التتليخ (R-290) و (R-22) ومن خلال عملية المقارنة تبين إن نسبة الحيوان لمعامل أداء الدورة لم تتجاوز (5.8%) عند استخدام مائع التتليخ (R-22) و (6.78%) عند استخدام مائع التتليخ (R-290) ، كما أكدت النتائج المستحصلة على ضرورة إجراء تغييرات تصميمية على الأجزاء التي تستخدم مائع التتليخ (R-290) كزيادة طول الأنابيب الشعري بمقدار (17%) وزيادة الإزاحة الحجمية للضاغط بنسبة (20%) لإنتاج نفس السعة لمائع التتليخ (-R).⁽²²⁾

قام الباحث (M.A.Akintunde)^[9] في عام (2007) باستخراج طول الأنابيب الشعري

فيها عن (10 kW) ويستعمل كوسيلة تمدد والسيطرة على معدل التدفق الكثلي لمائع التتليخ^[2]. قام الباحثون (Cooper L. , et al.)^[3] في عام (1957) بدراسة نظرية وعملية على أنابيب شعري باستخدام مائي التتليخ (R-12) و (R-22) وبيت النتائج بان الطول المحسوب من البرنامج هو اقصر من الطول الحقيقي ووجدوا بان أهم الأسباب التي أدت إلى هذا الحيدود هي ظاهرة التأخير في الغليان أي استمرار المائع بالحالة السائلة بعد خط الإشباع ببعض درجات بين °C .^(2.7-5.5)

قام الباحثون (Krolict , et al.)^[4] في عام (1983) بدراسة نظرية لأداة تمدد من نوع أنابيب شعري وقدموا أنماذج رياضي يقوم بربط معادلة الاستمرارية والزخم والطاقة واعتمدوا طريقة (Rang-Kutta) العددية في الحل، واعتبروا إن الجريان ثانوي الطور داخل الأنابيب الشعري هو جريان فقاعي (Bubble flow) وأعطى الأنماذج نتائج جيدة بالمقارنة مع النتائج العملية ونتائج الأنماذج الجريان المتجانس للباحثان (Awn A.G. & Rezk A.M.)^[5] في عام (1979) ولحالتي الجريان الadiabatic واللاadiabatic ، وعند مقارنة نتائج الأنماذج الفقاعي مع الأنماذج المتجانس وجد أن الأنماذج الفقاعي يكون أكثر تطابقا مع النتائج العملية.

وفي عام (1997) قدم الباحث نشوان^[6] دراسة حول تصميم ومحاكاة منظومة تتليخ انضغاطية تعمل بمائع التتليخ (R-22) وتستعمل مكثف وبخار من نوع الاسطوانة والأتبابب وأداة التمدد من نوع أنابيب شعري حيث قام ببناء برنامجي حاسوبي يقوم الأول بتصميم المنظومة والثاني يقوم بمحاكاتها وأعطى الأنماذج نتائج جيدة بالمقارنة مع النتائج العملية للباحث إذ لم تتجاوز نسبة الخطأ ($\pm 10.2\%$)

الخارجي ويؤدي ذلك إلى تكثف مائع التثليج داخل الأنابيب.

3-المبخر (Evaporator):

تم استخدام مبخر من نوع أنبوب زعنفة (fin-tube) مجهز بمرحمة حيث يمر الهواء عبر الزعانف والأسطح الخارجية لأنابيب المبخر ليحصل التبادل الحراري بينهما مما يؤدي إلى اكتساب الحرارة إلى داخل أنابيب المبخر وبالتالي تبخر مائع التثليج.

4-أداة التمدد (Expansion device):

تلخص وظيفة أداة التمدد بتقليل الضغط في منظومة التثليج من الضغط العالي في المكثف إلى الضغط الواطئ في المبخر نتيجة الاحتكاك وتتسارع السائل فيه بسبب قطره الصغير، وتم استخدام أنابيب الشعري (Capillary tube) كوسيلة تمدد مصنوع من النحاس وبقطر (2mm) وبأطوال مختلفة (120,100,80 cm).

أجهزة القياس

تم استخدام مجموعة من أجهزة القياس لغرض إجراء التجارب العملية وفيما يلي تعريف بالوسائل المستخدمة في القياس:

1-قياس التدفق (Flow Measurement):

تم استخدام مقياس تدفق من نوع (Rotometer) يقرأ معدل التدفق للمدى (0-0.3 L/min).

2-قياس الضغط (Pressure Measurement):

لقياس ضغط المبخر استخدم مقياس ضغط بمدى (0-15 bar) ولقياس ضغط المكثف تم استخدام مقياس ضغط بمدى (0 to 35 bar).

3-قياس درجة الحرارة (Temperature Measurement):

تم استخدام مزدوجات حرارية من نوع (T) لقياس درجة حرارة كل النقاط المبينة في الشكل (2) الذي يوضح مخطط الأجزاء الرئيسية لدورة التثليج وتمثلها على مخطط (p-h) وهذه المزدوجات الحرارية مربوطة مع مقياس درجة الحرارة الرقمي (Digital Thermometer).

بالاعتماد على العديد من معاملات الاحتكاك ومعادلة اللزوجة للجريان ثنائي الطور وبينت النتائج بأن طول الأنابيب الشعري يعتمد على كلاً من عدد رينولدز (Re) ونسبة التذرير (dryness fraction) كما قام الباحث بمقارنة الأطوال المستخرجة مع الطول القياسي المعطى في (ASHRAE) وأظهرت النتائج تقارب جيد بزيادة درجة التبريد الإضافي (sub-cooling).

الجانب العملي

نظراً لتطور موائع التثليج ومنها (R134a) واستخدامه في منظومات التثليج، عهدنا إلى القيام بدراسة عملية لمعرفة تأثير التغيير في طول الأنابيب الشعري على أداء منظومة التثليج الانضغاطية وللأطوال (120,100,80 cm) وباستخدام مائع التثليج (R134a).

الجهاز المستخدم

يتتألف الجهاز المستخدم في إجراء التجارب العملية والموضح في الصورة الفوتوغرافية الشكل (A-1) والرسم التخطيطي (B-1) من الأجزاء التالية:

1-الضاغط (Compressor):

بعد الضاغط قلب دورة التثليج الانضغاطية، ولم تتسع وتتمو صناعة التثليج إلا بعد تطور وتقديم صناعة الضاغط ويجري خلاله عملية انضغاط بخار مائع التثليج، فقد تم استخدام ضاغط تردد (Reciprocating Compressor) خلال البحث الحالي.

2-المكثف (Condenser):

تم استخدام مكثف من نوع أنبوب زعنفة (fin-tube) مجهز بمرحمة تدفع الهواء خلاله حيث ينتهي الهواء من بين الزعانف والسطح الخارجية لأنابيب المكثف ليحصل التبادل الحراري بين المكثف والهواء الخارجي حيث يتم طرح الحرارة من المكثف إلى المحيط

تم حساب خواص مائع التثليج (R134a) المستخدم اعتماداً على تغير درجات حرارة الماء في دورة التثليج وتحسب من المعادلات التجريبية التالية^[11]:

- في حالة الأشباع:

$$h_f = 199.69 + 1.36T + 0.00321T^2 - 6.78 \times 10^{-5}T^3 + 7.05 \times 10^{-7}T^4 \quad \dots \dots \dots (1)$$

$$h_g = 399.31 + 0.55T - 0.0038T^2 + 11.32 \times 10^{-5}T^3 - 1.19 \times 10^{-6}T^4 \quad \dots \dots \dots (2)$$

$$\rho_f = 1296.6 - 3.48T - 0.025T^2 + 1.132 \times 10^{-4}T^3 - 7.4351 \times 10^{-6}T^4 \quad \dots \dots \dots (3)$$

$$v_g = 0.0698 - 0.0025T + 5 \times 10^{-5}T^2 - 5.22 \times 10^{-7}T^3 + 2.102 \times 10^{-9}T^4 \quad \dots \dots \dots (4)$$

$$v_f = 7.8 \times 10^{-4} + 2.62 \times 10^{-6}T - 1.67 \times 10^{-8}T^2 - 1.44 \times 10^{-10}T^3 + 6.98 \times 10^{-12}T^4 \quad \dots \dots \dots (5)$$

- وفي حالة التحميص:

$$h_1 = 400.87 + 0.519T + 0.00891T^2 - 7.386 \times 10^{-5}T^3 + 2.194 \times 10^{-7}T^4 \quad \dots \dots \dots (6)$$

$$v_1 = 0.049 + 2.77 \times 10^{-4}T - 4.298 \times 10^{-7}T^2 + 1.064 \times 10^{-9}T^3 \quad \dots \dots \dots (7)$$

$$h_2 = 391.496 + 0.912266T + 0.000487326T^2 \quad \dots \dots \dots (8)$$

$$v_2 = 0.0302 + 2.03 \times 10^{-4}T - 3.2201 \times 10^{-7}T^2 + 6.1447 \times 10^{-10}T^3 \quad \dots \dots \dots (9)$$

في حين تم حساب معدل التدفق الكتلي للماء m^o ووحداتها (kg/s) من المعادلة التالية^[2]:

مائع التثليج

تم استخدام مائع التثليج (R134a) من مجموعة (HFCs) والتي تسمى بصدقة الأوزون وذلك لعدم احتواء تركيبها الكيميائي على ذرة الكلور ولها عامل نضوب الأوزون (ODP) مساوي للصفر^[10]. جدول رقم (1) يوضح لنا الخواص الفيزيائية لمائع التثليج المستخدم في التجارب العملية^[11].

طريقة أجراء الحسابات

قبل البدء بالتجارب تمت معايرة المزدوجات الحرارية باستعمال محوار زئبي في عملية المعايرة وذلك بوضع الجزء الحساس للمزدوج الحراري والمحرار الزئبي في أناء يحتوي على خليط من الماء المقطر والتلخ وأخذت قراءتيهما وبعدها تم تسخين الخليط باستخدام مسخن كهربائي وتم تسجيل قراءة المحوار الزئبي وقراءة المزدوج الحراري إلى أن نصل إلى درجة حرارة (100 °C) ويوضح الشكل (3) نتائج المعايرة للمزدوجات الحرارية المستخدمة في المنظومة. وكانت درجة حرارة المحيط الخارجي ضمن مدى (20-25 °C)، وطريقة أجراء التجارب يمكن توضيحها بالخطوات التالية:-

- 1- تشغيل منظومة التثليج الانضغاطية.
- 2- التحكم بمعدل التدفق الحجمي بوحدات (L/min) بواسطة صمام تحكم خلال مقياس التدفق (Rotometer).
- 3- التحكم بمسار الجريان لمائع التثليج خلال الأطوال الثلاث لأنبوب الشعري بواسطة ثلاثة صمامات للتحكم وموضحة في الشكل (A-1) و (B-1).
- 4- يترك الجهاز لمدة (90-60) دقيقة للوصول إلى حالة الاستقرار ويتم معرفة ذلك عند ثبوت درجات الحرارة والضغط على طول الدورة. حيث تؤخذ قراءات الضغوط وذلك باستخدام مقياس ضغط أحدهما بقياس الضغط العالي Low pressure) والأخر يقيس الضغط الواطئ (high pressure) أما درجات الحرارة فتقرأ على طول الدورة مع معدل التدفق الكتلي والتيار والвольتية والقدرة الكهربائية الداخلة إلى الصاغط.

إن تحول الطاقة الكهربائية إلى طاقة ميكانيكية ينبع منها خسائر نتيجة الاحتكاك والهسترة ومقاومة الأسلاك والتي تمثل بمجموعها الكفاءة الكهربائية للمحرك الكهربائي [8].

$$\eta_e = \frac{We}{F} \quad \dots\dots\dots(14)$$

حیث اُن

$$E = I * V$$

إن عملية الانضغاط تحدث بإجراءات بوليتروبي وان لها نفس قيمة الأس البوليتروبي (n) ويتمثل الأجراء بالمعادلة:

$$Pv^n = \text{constant}$$

وتم استخراج الكفاءة الحجمية للضغط من المعادلة التالية [7]:

$$\eta_v = Cl \cdot \left[1 - Cc \cdot \left[(Rc)_n^{\frac{1}{n}} - 1 \right] \right] \dots\dots(15)$$

$$Rc = \frac{Pc}{Pe}$$

وبتطبيق معادلة الحالة للتدفق المستمر على أجزاء الدورة وبإهمال التغير في الطاقة الكامنة والحركية نحصل على المعادلات التالية [١] :

للضغط : ان المحتوى الحراري لمائع التثليج يزداد خلال شوط الاضغاط البولترودي من (1-2) كما مبين في الشكل (2)، ويمكن الحصول على القدرة اللازمة لضغط بخار مائع التثليج من المعادلة التالية:

$$TCP = m^o \cdot Wc$$

للمكثف: الأجراء (2-3) تجري عملية التكيف بثبوت الضغط وتم حساب معدل الحرارة المطروحة من المكثف من المعادلة التالية:

$$Qc = m^o \cdot (h_2 - h_3) \quad \dots \dots \dots (17)$$

سرعة المائع تم حسابها من المعادلة التالية:

$$A = \frac{\pi \cdot D^2}{4}$$

إن نسبة التذرير (X) تم احتسابها اعتماداً على معادلة الاستمرارية و معادلة الطاقة:

$$1000h_5 + \frac{v_5^2 \cdot S^2}{2} = 1000h_4 + \frac{C^2}{2}$$

$$1000h_{f5} + 1000(h_{g5} - h_{f5}) +$$

$$\frac{[v_{f5} + (v_{gf} - v_{f5})X]^2}{2} * S^2 = 1000h_{f4} + \frac{C^2}{2}$$

$$a = \frac{(v_{g5} - v_{f5})S^2}{2}$$

$$b = 1000 \left(h_{g5} - h_{f5} \right) + \left(v_{g5} - v_{f5} \right) v_{f5} \cdot S^2$$

$$c = 1000(h_{f5} - h_{f4}) + \frac{v_{f5}^2 \cdot S^2}{2} - \frac{C^2}{2}$$

$$S = \frac{m^o}{A}$$

ولعرض احتساب المحتوى الحراري الخارج من الأنبوب
الشعري اعتنادا على نسبة التذرير (X) تستخدم المعادلات
الناتجة:

$$\begin{aligned} h &= h_f(1-X) + X.h_g \\ v &= v_f(1-X) + X.v_g \end{aligned} \quad \dots \dots \dots \quad (13)$$

الشعري (L) مع تغير معدل التدفق الكتلي للمائع ويلاحظ من الشكل أن معامل الأداء يقل كلما زاد معدل التدفق الكتلي وذلك بسبب زيادة القدرة المستهلكة في الضاغط اللازم لضغط الكمية الإضافية للمائع، لذلك فإن أقل قيمة لمعامل الأداء عند الطول ($L=120\text{cm}$) ($m^o = 2.78\text{g/s}$) وعند ($L=80\text{cm}$) كانت ($COP=5$) وأكبر قيمة عند الطول ($L=80\text{cm}$) ($COP=6.33$) ولنفس التدفق والشكل (5) يبين الاختلاف في معامل الأداء لأطوال الأنابيب الشعري الثلاث حيث نلاحظ أن أعلى معامل أداء عند الطول ($L=80\text{cm}$) مقارنة بأطوال الأخرى وعند جميع درجات حرارة التكثيف، ويعود السبب إلى زيادة سرعة المائع في الأنابيب الشعري وبالتالي تزداد الخسائر بسبب زيادة الاحتكاك بين المائع والسطح الداخلي للأنابيب الشعري. الشكل (6) يوضح تغير القدرة الانضغاطية لمائع التثليج R134a مع تغير طول الأنابيب الشعري ولمختلف درجات حرارة المكثف اعتماداً على تغيير معدل التدفق الكتلي، حيث نلاحظ أن أقل قدرة انضغاطية هي عند الطول ($L=80\text{ cm}$) وكانت ($TCP=80.04\text{ Watt}$) وأعلى قدرة انضغاطية عند الطول ($L=120\text{cm}$) وكانت ($TCP=114.47\text{ Watt}$)، وذلك لأن نسبة الانضغاط عند ($L=80\text{ cm}$) (Rc) هي أقل من نسبة الانضغاط عند ($L=120\text{cm}$) وبالتالي سوف يحتاج الضاغط إلى قدرة أقل للانضغاط. الشكل (7) يوضح تغير ضغط المبخر لأطوال الأنابيب الشعري الثلاثة مع اختلاف معدل التدفق الكتلي، ويلاحظ أنه بزيادة طول الأنابيب الشعري يقل ضغط المبخر وذلك بسبب زيادة الخسائر داخل الأنابيب الشعري وبالتالي نقصان ضغط المبخر بنسبة (10.92%) والذي بدوره يزداد مع زيادة معدل التدفق الكتلي بنسبة (57.11%).

وأداة التمدد: (4-5) تجري عملية التمدد أدبياتياً بثبوت المحتوى الحراري وبتعبير آخر فإن:

$h_4 = h_5$
وللمبخر: الأجراء(5-6) تجري عملية التبخر بثبوت الضغط وتم حساب معدل الحرارة المسحوبة في المبخر من المعادلة التالية:

$$\begin{aligned} Qe &= m^o \cdot qe \\ qe &= h_6 - h_5 \end{aligned} \quad(18)$$

وتم حساب السعة الحجمية لتبريد الغاز بوحدات (kJ/m^3) من المعادلة التالية:

$$Vcc = \frac{qe}{v_1} \quad(19)$$

أما معامل الأداء لدورة التثليج الانضغاطية فقد تم حسابها من المعادلة التالية:

$$COP = \frac{Qe}{TCP} \quad(20)$$

النتائج و المناقشة

شمل البحث استقصاء تجاري لمعرفة تأثير طول الأنابيب الشعري على أداء منظومة التثليج الانضغاطية باستخدام مائع التثليج R134a ، وأن وصف الجهاز وطريقة أداء التجارب وضحت في الجانب العملي. شملت التجارب تغير معدل التدفق الكتلي من (2-6 g/s) وأطوال الأنابيب الشعري الثلاث ($120, 100, 80\text{ cm}$).الجدول رقم (2) يوضح مقارنة للنتائج الحسابية لأدنى وأعلى تدفق كتلي للمائع وللأطوال الثلاثة للأنابيب الشعري.

الشكل(4) يوضح تغير معامل أداء منظومة التثليج الانضغاطية (COP) بالنسبة للتغير طول الأنابيب

3. بزيادة الطول للأنبوب الشعري بثبوت القطر يقتضي المبخر بنسبة (10.92%) وذلك لزيادة الخسائر داخل الأنابيب الشعري.

4. أن الزيادة في درجة حرارة التبريد الإضافي (Sub-cooling) تزداد بنسبة (23%) عند الطول مقارنة مع الأطوال ($L=120\text{cm}$) الأخرى (100,80cm).

5. لوحظ من هذه الدراسة أن أفضل طول للأنبوب الشعري مستخدم فيمنظومة التثليج الانضغاطية بالاعتماد على معدل التدفق الكتلي هما الطول (80 cm) عند أدنى تدفق كتلي (2.78 g/s)، والطاو (100 cm) عند أعلى تدفق كتلي (5.83 g/s) لأنهما يعطيان أعلى أداء للدورة وأقل قدرة انضغاطية.

النوصيات

من خلال إجراء هذا البحث وما تم الحصول عليه يوصى بأجراء بعض الدراسات المكملة لهذه الدراسة:

(1) دراسة تأثير التغير في قطر الأنابيب الشعري على أداء المنظومة مع ثبوت طول الأنابيب ولنفس مائع التثليج.

(2) دراسة تأثير أداء التمدد (صمام التمدد والأنبوب الشعري) على أداء المنظومة.

(3) دراسة تأثير التغير في درجة حرارة المحيط على أداء المنظومة باختلاف أطوال الأنابيب الشعري وبثبوت معدل التدفق الكتلي.

الشكل (8) يوضح تغير درجة حرارة التبريد الإضافي مع تغير معدل التدفق الكتلي ولمختلف أطوال الأنابيب الشعري حيث نلاحظ من الشكل نقصان درجة حرارة التبريد الإضافي مع زيادة معدل التدفق الكتلي وتزداد بزيادة طول الأنابيب الشعري ويعود السبب أنه بزيادة طول الأنابيب الشعري تزداد القدرة الانضغاطية بنسبة (19.54%) وبالتالي تحتاج الدورة إلى زيادة في درجة حرارة التبريد الإضافي بنسبة (23%) كلما زاد معدل التدفق الكتلي. ويوضح الشكل (9) مخطط الدورة على إحداثيات (ضغط-أنتالبي) للماء (R134a) مع اختلاف طول الأنابيب الشعري (m° = 4.44g / s) وعند معدل التدفق الكتلي (m° = 4.44g / s) ويلاحظ من الشكل أنه بزيادة طول الأنابيب الشعري ترافقها زيادة في القررة المجهزة للضغط بنسبة (6.65%) مع زيادة في سعة التثليج بنسبة (1.61%) ونقصان في أداء المنظومة بنسبة (8.31%).

الاستنتاجات

تم في هذا البحث تغيير معدل التدفق الكتلي من (2-6 g/s) وباستخدام أطوال أنابيب الشعري (120,100,80cm) حصلنا على الاستنتاجات التالية:
1. أن معامل الأداء لدوره التثليج الانضغاطية (COP) يقل بنسبة (38.14%) عند ازيد معدل التدفق الكتلي ، وبنسبة (6.65%) كلما زاد طول الأنابيب الشعري من (120-80cm).

2. القدرة الانضغاطية للضغط تزداد بنسبة (68.36%) بزيادة معدل التدفق الكتلي للماء R134a ، وبنسبة (9.54%) بزيادة طول الأنابيب الشعري.

تأثيرها على الأنابيب الشعر " رسالة ماجستير، قسم هندسة المكائن والمعدات، الجامعة التكنولوجية .2001

[9] M.A.Akintunde,"The effects of friction factors on capillary tube length", the pacific journal of science and technology, 2007, Vol.8, No.2, pp (.238-245).

[10] Wojdon W, and George M.," How to Replace CFC Refrigerants Hydrocarbon Processing " , August 1994,PP.(107-112).

[11] ASHRAE Fundamental Handbook, 1997.

المصادر

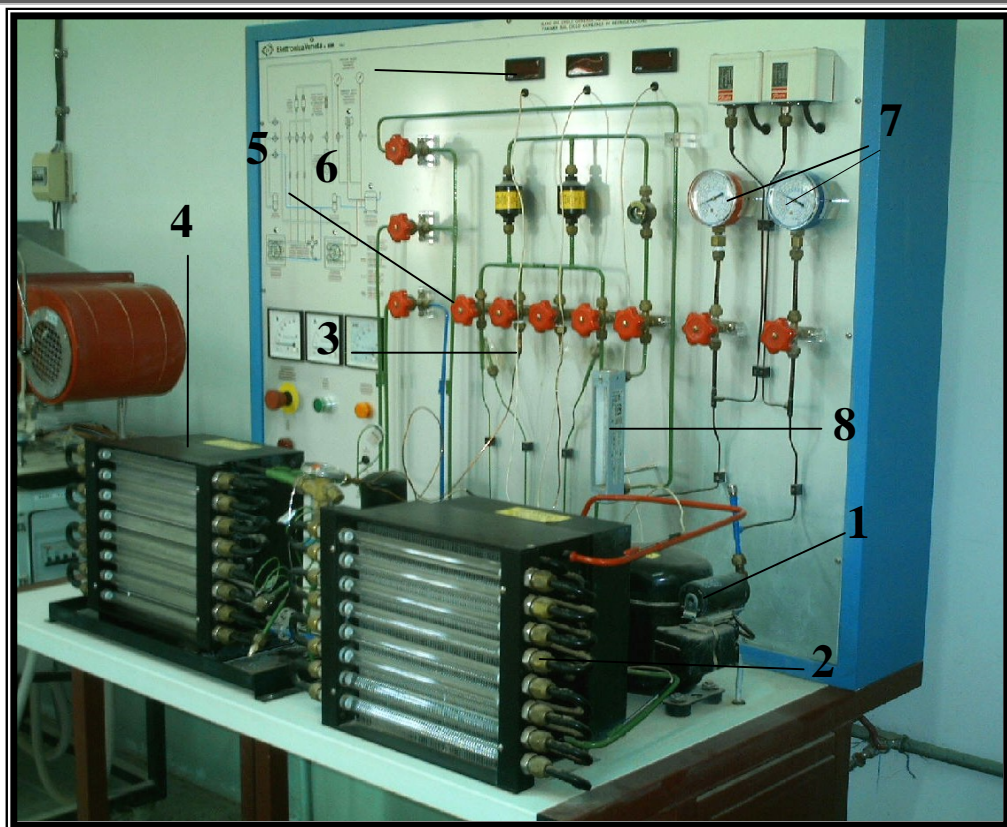
- [1] الدكتور خالد الجودي "مبادئ هندسة تكييف الهواء والتثليج" جامعة البصرة. (1986)
- [2] W.F.stoeker, "Refrigeration and Air condition", Mc Graw-Hill publishing company ltd, second Edition, (1982).
- [3] Cooper L., et al., "Simple selection method for capillaries derived from physical flow conditions" Refrigeration Engineering, (1957),Vol.65, No.7, pp. (37-41).
- [4] Krolickt Z., et al., "Model of throttling capillary tube with metastable process", proc. of the XVI congr. Of ref., Paris, 1983, pp. (699-709).
- [5] Awn A.G. and Rezk A.M.," Investigation on flow of R-22 through capillary tube", proc. of the XV Int. congr. of ref., Venice,1979, pp (789-809).
- [6] نشوان باسم بنهام "استخدام الحاسبة في تصميم ومحاكاة منظومة تثليج انضغاطية" رسالة ماجستير، قسم هندسة المكائن والمعدات ، الجامعة التكنولوجية ، 1997.
- [7] Hussain R.M., "Anumerical simulation of vapour compression refrigeration cycle using alternative refrigerants", ph.D Thesis, Baghdad university, Mech. Eng. Dept, (1998).
- [8] احمد عبد النبي عمران مقارنة اداء مائع التثليج R290 و R22 في منظومة تثليج انضغاطية ودراسة

جدول رقم (1) يبين الخواص الفيزيائية لمائع التثليج المستخدم.

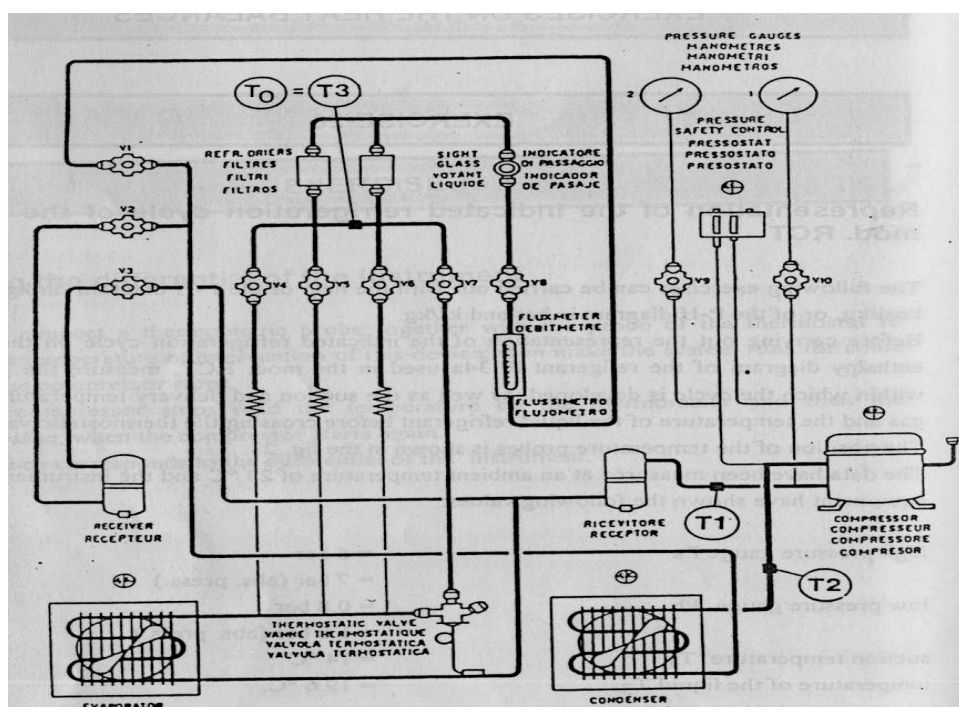
No	Chemical name	Chemical formula	Molecular mass	Boiling point (c°)	Freezing point (c°)	Critical pressure (bar)	Critical temperature (c°)	Critical volume (L/Kg)
R134a	Tetrafluoroethan	CF3CH2F	102.03	-26.16	-96.6	40.76	101.1	1.81

جدول رقم (2) مقارنة النتائج الحسابية للدورة بأخذ أدنى وأعلى تدفق كتلي ولأطوال مختلفة للأنبوب الشعري

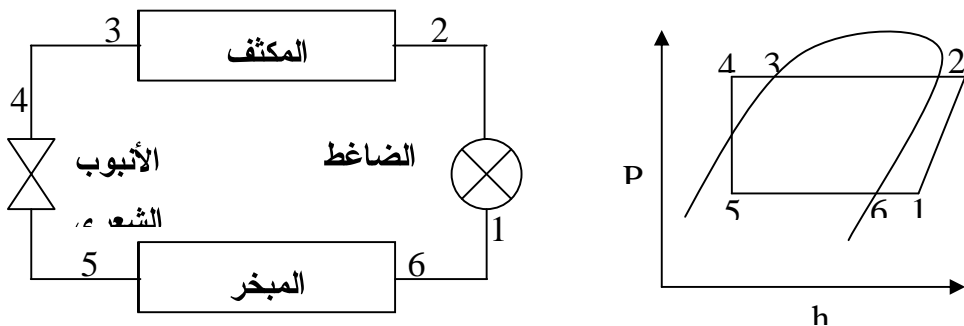
Mass flow rate	2.78 g/s			5.833 g/s		
L (cm)	80	100	120	80	100	120
TCP (Watt)	80.04	92.87	114.4663	309.912	295.433	304.816
Vcc (KJ/m ³)	3379.044	3393.207	3411.311	3448.425	3430.839	3444.078
COP (-)	6.328	5.5323	5.0004	3.3302	3.5608	3.43066
Qe (Watt)	506.494	513.781	572.377	1032.073	1051.973	1045.72
X (-)	0.179343	0.172588	0.158506	0.094602	0.0842764	0.09421
% η_v	56.96377	55.07865	53.6478	68.764	68.2834	68.2468
η_e %	60.7211	56.7376	60.0751	65.764	66.5377	66.762
n (-)	1.117814	1.121528	1.127953	1.209325	1.206889	1.205678
Tsub-cooling (c°)	1.2	1.4	1.5	0.65	0.85	1
Rc (-)	6.227	6.398	6.43	10.732	11.44	12



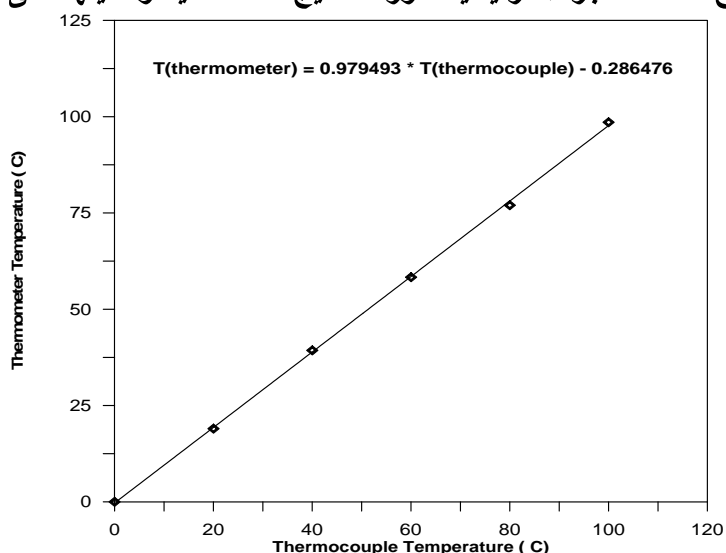
شكل (A-1) صورة فوتوغرافية توضح الجهاز المستخدم في البحث
 (1) ضاغط (2) مكثف (3) الآبوب الشعري (4) المبخر (5) صمام التحكم (6) مقياس رقمي لقياس درجات الحرارة
 (7) مقياس الضغط (8) مقياس التدفق الحجمي



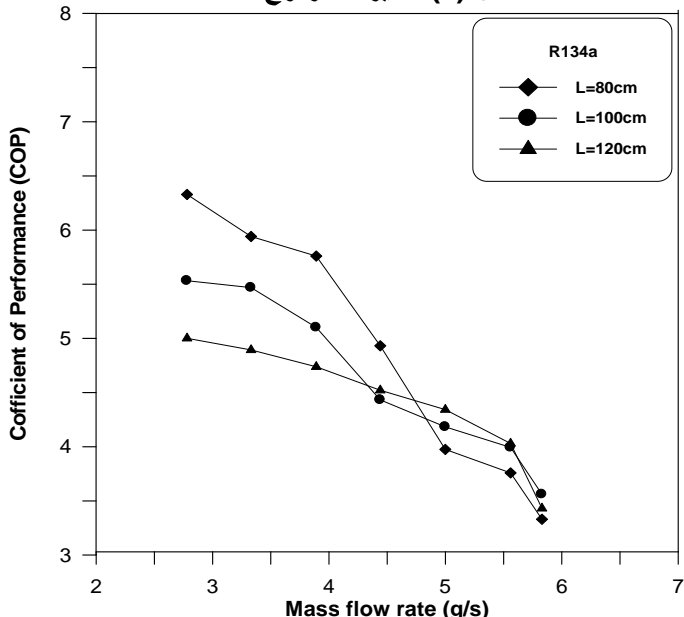
شكل (B-1) رسم تخطيطي للجهاز



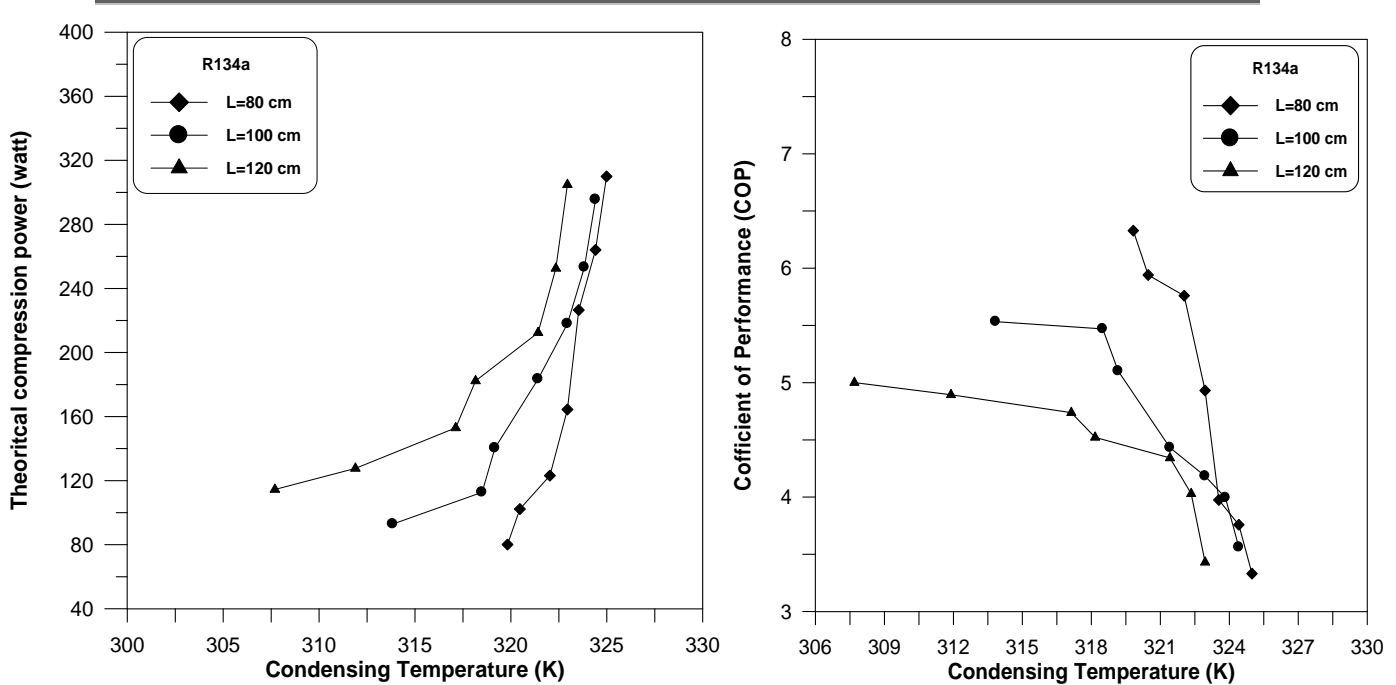
شكل (2) يوضح مخطط الأجزاء الرئيسية لدورة التثبيج الانضغاطية وتمثيلها على مخطط (p-h)



شكل (3) معايرة المزدوج

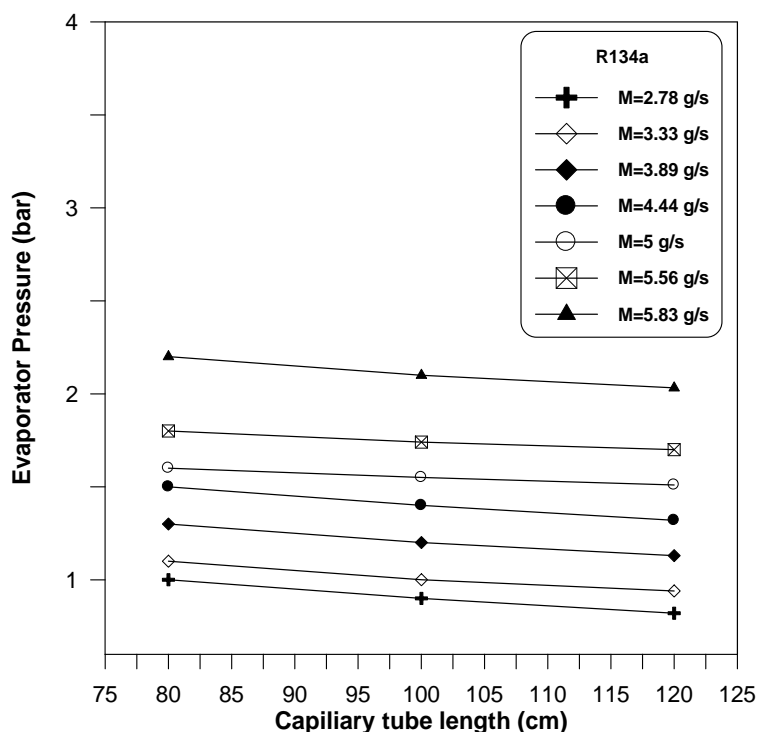


شكل (4) يوضح تغير معامل أداء المنظومة مع تغير معدل التدفق الگتى لمختلف أطوال الأنابيب الشعري

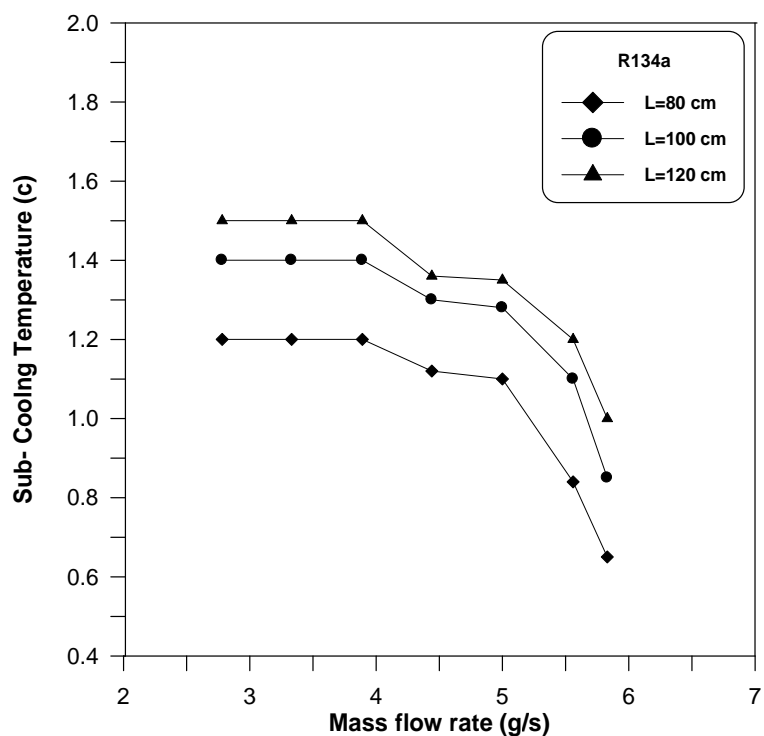


شكل (6) يوضح تغير قدرة الانضغاط النظرية مع تغير درجة حرارة التكثيف لمختلف أطوال الأنابيب الشعري

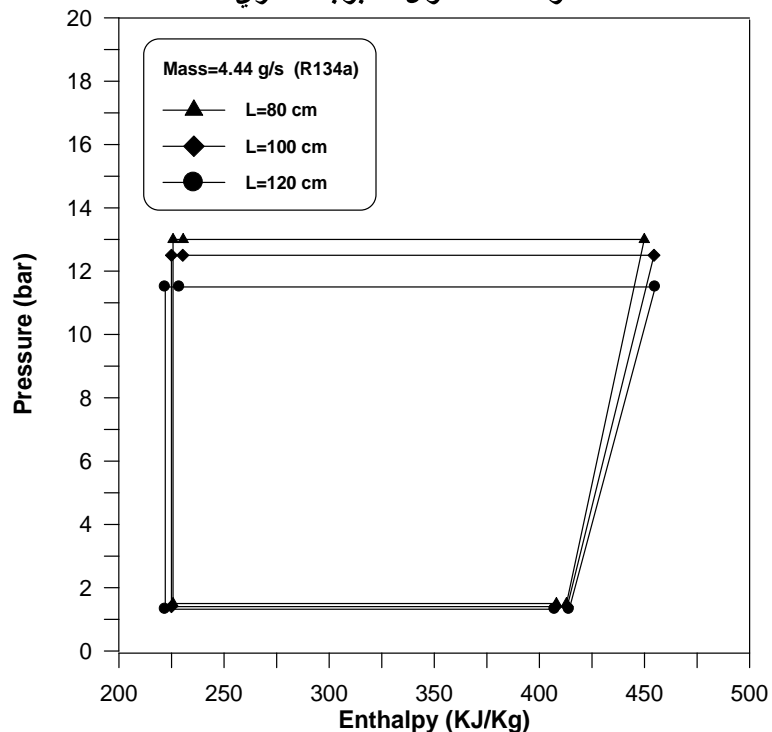
شكل (5) يوضح تغير معامل أداء المنظومة مع تغير درجة حرارة التكثيف لمختلف أطوال الأنابيب الشعري



شكل (7) يوضح التغير في ضغط المبخر مع التغير في طول الأنابيب الشعري عند معدلات تدفق مختلفة



شكل (8) يوضح التغير في درجة حرارة التبريد الإضافي مع التغير في معدلات التدفق ولمخالف أطوال الأنابيب الشعرى



شكل (9) يوضح مخطط المنظومة على إحداثيات (ضغط - أنتالبي) عند معدل التدفق الكتئي (4.44 g/s) ولمخالف أطوال الأنابيب الشعرى

**AN EXPERIMENTAL STUDY TO SHOW THE EFFECT OF
DIFFERENCE IN CAPILLARY TUBE LENGTH ON COMPRESSION
REFRIGERATION SYSTEM PERFORMANCE BY USING THE
REFRIGERANT (R134A)**

Thamir K. Salim
Assistant Lecture
Mech. Eng. Dep.
University of Tikrit

Saad S. Farhan
Assistant Lecture
Mech. Eng. Dep.
University of Technology

Samer M. Khalaf
Assistant Lecture
Mech. Eng. Dep.
University of Tikrit

ABSTRACT

An experimental compression refrigeration system performance study was presented in this research depending on the change of the capillary tube length and by using (R134a).

The tests were done for three capillary tube lengths (80,100,120cm) and changing mass flow rate for each length. Their values were (2 – 6g/s) with capillary tube diameter (2mm).

The results showed that the (COP) decreases by (38.14%) as the mass flow rate increases from (2 – 6g/s), and by (6.65%) as the capillary tube length increases from (80-120 cm). At (L=80Cm) the (COP) value will be greater than it's value at (L=120Cm) for lowest mass flow rate, while it's values converge for all lengths at high mass flow rate .Also it was declared that (COP) will decrease as the condenser temperature increases for all lengths.

The study showed that the compressor compression power increases as the condenser temperature increases by (68.36%), and increases as the capillary tube length increases by (9.54%) with convergence value at (100 cm) and (120 cm) . This study showed also that sub-cooling temperature stays constant at low flow rates, and decreases at higher flow rates by (34.35%).

Through this study was found best length used in refrigeration cycle at lowest mass flow rate (2.78 g/s) is (80Cm) which will give highest performance and lowest compression power, and at high mass flow rate (5.83 g/s) found the length (100Cm) will give highest performance and lowest compression power.

KEY WORDS: Capillary tube length, compression refrigeration cycle Performance, R134a

This document was created with Win2PDF available at <http://www.win2pdf.com>.
The unregistered version of Win2PDF is for evaluation or non-commercial use only.
This page will not be added after purchasing Win2PDF.